



FAG

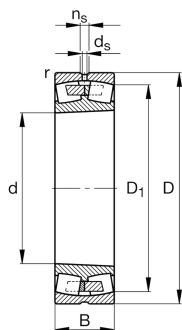
23332-BEA-XL-MB1-T41A

Радиальный сферический роликоподшипник

Радиальный сферический роликоподшипник 233...-BEA-XL-MB1-T41A, симметричный, 2 наружных борта и один плавающий борт, для вибрационных нагрузок с суженными допусками диаметров

X-life

Техническая информация



Ваш текущий вариант продукта

Design	BEA	With lose center lip ring
Исполнение отверстия	Z	Цилиндрическое
Cage	MB1	Латунный сепаратор, массивный
Радиальный зазор	C4 (Group 4)	Internal clearance larger than C3
Relubrication facility	Standard	Стандарт
Locating feature, bearing outer ring	Without	без
Handling thread holes	Without	
Special material	Standard	Стандарт
Spherical roller bearing for vibrating screens	T41A	For vibrating screens

Основные размеры и рабочие характеристики

d	160 mm	Диаметр отверстия
D	340 mm	Наружный диаметр
B	136 mm	Ширина
C _r	2.000.000 N	Динамическая грузоподъемность, радиальная
C _{0r}	2.370.000 N	Статическая грузоподъемность, радиальная
C _{ur}	186.000 N	Предел усталостной нагрузки, радиальный
n _G	2.010 1/min	Предельная частота вращения
≈m	58,8 kg	Вес



Присоединительные размеры

$d_{a \min}$	192 mm	Мин. диаметр заплечика вала
$D_{a \max}$	323 mm	Макс. диаметр заплечика корпуса
$r_{a \max}$	3 mm	Макс. радиус галтели

Габаритные размеры

r_{\min}	4 mm	Мин. размер монтажной фаски
D_1	280,8 mm	Диаметр отверстия наружного кольца

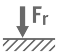
Диапазон температур

T_{\min}	-30 °C	Мин. рабочая температура
T_{\max}	200 °C	Макс. рабочая температура

Коэффициенты для расчета

e	0,42	Предельное значение F_a/F_r для применимости различн. значений коэффициентов X и Y
Y_1	1,6	Динамический коэффициент осевой нагрузки
Y_2	2,38	Динамический коэффициент осевой нагрузки
Y_0	1,56	Статический коэффициент осевой нагрузки

Характеристики

-  Радиальная нагрузка
-  Осевая нагрузка в одном направлении
-  Осевая нагрузка в обоих направлениях
-  Смазывание пластичной смазкой
-  Смазывание маслом
-  Без уплотнений
-  Крупногабаритный подшипник
-  Статические угловые и линейные несоосности
-  Динамические угловые и линейные несоосности